

1. Кит Г. С., Побережный О. В. Нестационарная задача термоупругости для пластинки с трещиной при наличии теплоотдачи с боковых поверхностей.— Физ.-хим. механика материалов, 1976, 12, № 4, с. 73—78.
2. Кит Г. С., Побережный О. В. Интегральные уравнения нестационарных задач теплопроводности для тел с трещинами.— Мат. методы и физ.-мех. поля, 1980, вып. 12, с. 58—63.
3. Кудрявцев Б. А. Квазистатическая задача термоупругости для плоскости с полубесконечным разрезом.— Динамика сплошной среды, 1978, вып. 6, с. 29—31.
4. Кудрявцев Б. А., Партон В. З. Квазистатическая температурная задача для плоскости с разрезом.— Пробл. прочности, 1970, № 2, с. 46—51.
5. Мухелишвили Н. И. Некоторые основные задачи математической теории упругости.— М.: Наука, 1966.— 707 с.
6. Нобл Б. Метод Винера — Хопфа.— М.: Изд-во иностр. лит., 1962.— 279 с.
7. Подстригач Я. С., Коляно Ю. М. Неустановившиеся температурные поля и напряжения в тонких пластинках.— Киев: Наук. думка, 1972.— 308 с.

Институт прикладных проблем
механики и математики АН УССР

Поступила в редколлегию
31.03.81

УДК 539.377

Б. С. Воробец

ИССЛЕДОВАНИЕ ДИНАМИЧЕСКИХ ТЕМПЕРАТУРНЫХ НАПРЯЖЕНИЙ В ПОЛУПРОСТРАНСТВЕ СО СФЕРИЧЕСКИМ ВКЛЮЧЕНИЕМ

Рассмотрим упругое полупространство $z \geq 0$, отнесенное к цилиндрической системе координат r, φ, z (рис. 1). В полупространстве на некотором расстоянии d от плоской границы $z = 0$ имеется сферическое включение, отнесенное к сферической системе координат ρ, φ, θ (рис. 1). Включение представляет собой тонкую упругую замкнутую сферическую оболочку толщины $2\delta_0$ с теплопроводным мягким наполнителем (жесткость наполнителя мала по сравнению с жесткостью оболочки и полупространства); при этом в области $\rho \leq R_1$ ($R_1 < d$), занятой наполнителем, действуют периодические во времени источники тепла интенсивности

$$q(\tau) = q_1 \exp(i\omega\tau) \quad (\omega, q_1 = \text{const}) \quad (1)$$

(τ — время). На контактирующих поверхностях (полупространство — оболочка, оболочка — наполнитель) выполняются условия идеального теплового контакта. Между оболочкой и полупространством существует жесткое сцепление. На плоской поверхности полупространства $z = 0$, свободной от внешних нагрузок, происходит теплообмен с окружающей средой (температуру которой принимаем равной нулю) по закону Ньютона. При таких условиях и распределении источников тепла (1) температурное поле и напряженно-деформированное состояние системы не будут зависеть от координаты φ . Решения сформулированных выше задач теплопроводности и динамической задачи термоупругости для полупространства с рассматриваемым включением приведены в работе [1]. В этой работе методом последовательных приближений получены решения указанных задач, представленные в виде аналитических соотношений, с помощью которых для значений температуры, перемещений и напряжений в полупространстве, а также усилий и моментов в оболочке определяется любое приближение по предыдущим. В настоящей работе доказывается сходимость этого метода, а также приводятся результаты численных исследований динамических напряжений в полупространстве и усилий в подкрепляющей оболочке.

О сходимости решения. Функции F, H и Ψ , через которые определяются все компоненты, характеризующие термонапряженное состояние

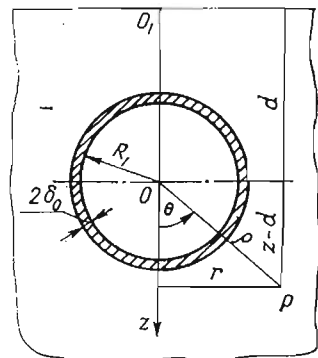


Рис. 1

рассматриваемой системы, с использованием соотношений (14)₁, (16)₁ и (22)₁ представим в виде *

$$\begin{aligned}
 F &= \sum_{j=0}^{\infty} F_{2j} + \int_0^{\infty} \frac{\lambda\mu_1 - \varepsilon_c}{\lambda\mu_1 + \varepsilon_c} e^{-\mu_1(z+d)} \left[\sum_{j=0}^{\infty} F(2j) \right] J_0(\xi r) \frac{\xi}{\mu_1} d\xi, \\
 H &= \sum_{j=0}^{\infty} H_{2j} - \int_0^{\infty} \left\{ \frac{2\mu_2}{\lambda\mu_1 + \varepsilon_c} e^{-\mu_1 d - \mu_2 z} U_1(\xi) \left[\sum_{j=0}^{\infty} F(2j) \right] + \right. \\
 &\quad \left. + e^{-\mu_1(z+d)} U_2(\xi) \left[\sum_{j=0}^{\infty} H(2j) \right] - \right. \\
 &\quad \left. - \xi^2 \mu_2 e^{-\mu_1 d - \mu_2 z} U_3(\xi) \left[\sum_{j=0}^{\infty} \Psi(2j) \right] \right\} J_0(\xi r) \frac{\xi}{\mu_2} d\xi, \quad (2)
 \end{aligned}$$

$$\begin{aligned}
 \Psi &= \sum_{j=0}^{\infty} \Psi_{2j} + \int_0^{\infty} \left\{ \frac{\mu_3(\lambda\mu_2 + \varepsilon_c)}{\lambda\mu_1 + \varepsilon_c} e^{-\mu_1 d - \mu_3 z} U_3(\xi) \left[\sum_{j=0}^{\infty} F(2j) \right] + \right. \\
 &\quad \left. + \mu_3 e^{-\mu_1 d - \mu_3 z} U_3(\xi) \left[\sum_{j=0}^{\infty} H(2j) \right] - \right. \\
 &\quad \left. - e^{-\mu_1(z+d)} U_2(\xi) \left[\sum_{j=0}^{\infty} \Psi(2j) \right] \right\} J_0(\xi r) \frac{\xi}{\mu_3} d\xi,
 \end{aligned}$$

$$U_1(\xi) = [\lambda(2\xi^2 - m_3^2)^2 + 4\xi^2 \mu_3 \varepsilon_c] \Delta^{-1}(\xi), \quad U_2(\xi) = 1 + 8\xi^2 \mu_2 \mu_3 \Delta^{-1}(\xi),$$

$$U_3(\xi) = 4(2\xi^2 - m_3^2) \Delta^{-1}(\xi); \quad \Delta(\xi) = (2\xi^2 - m_3^2)^2 - 4\xi^2 \mu_2 \mu_3,$$

$$\mu_p^2 = \xi^2 - m_p^2 \quad (p = 1, 2, 3), \quad m_1^2 = -iL\chi R_1^{-2}, \quad m_2^2 = \chi^2 R_1^{-2},$$

$$m_3^2 = \eta^2 m_2^2, \quad \chi = \omega R_1 \alpha^{-1}, \quad L = \alpha R_1 a^{-1}, \quad \eta = \alpha \beta^{-1}.$$

Здесь λ , a и ε_c — коэффициенты теплопроводности, температуропроводности и теплоотдачи соответственно; α , β — скорости распространения упругих волн расширения и искажения; $J_n(x)$ — цилиндрическая функция Бесселя первого рода; $h_n(x)$ — сферическая функция Ханкеля второго рода. Функции F_{2j} , H_{2j} , Ψ_{2j} , $F(2j)$, $H(2j)$ и $\Psi(2j)$ имеют вид (15)₁, (22)₁ и содержат величины $a_n^{(2j)}$, $b_n^{(2j)}$, $c_n^{(2j)}$, которые определяются из уравнений (17)₁, (23)₁; соотношения (23)₁ связывают коэффициенты $a_n^{(2j+2)}$, $b_n^{(2j+2)}$, $c_n^{(2j+2)}$ с коэффициентами $a_n^{(2j+1)}$, $b_n^{(2j+1)}$ и $c_n^{(2j+1)}$ предыдущего приближения.

Покажем, что ряды, входящие в формулы (2), сходятся. С этой целью предварительно оценим коэффициенты $a_n^{(p)}$, $b_n^{(p)}$, $c_n^{(p)}$ ($p = 2j + 1$; $2j + 2$). Из соотношений (17)₁ и (22)₁ получаем

$$|F(0)| < R_1^3 I_0, \quad |H(0)| < R_1 |b_0^{(0)} m_2^{-1} R_1^{-3}|, \quad I_0 = |a_0^{(0)} m_1^{-1} R_1^{-3}|. \quad (3)$$

Используя эти неравенства, а также формулы (22)₁, (23)₁, для коэффициентов $a_n^{(1)}$, $b_n^{(1)}$ и $c_n^{(1)}$ получим справедливые при больших значениях ξ и n соотношения

$$\begin{aligned}
 |a_n^{(1)}| &< R_1^3 d^{-1} I_0 (2n+1)!! (m_1 d)^{-n}, \quad |b_n^{(1)}| < R_1^3 d^{-1} I_1 n (2n+1)!! (m_2 d)^{-n}, \\
 |c_n^{(1)}| &< R_1^3 I_1 (2n+1)!! (m_3 d)^{-n}; \quad I_1 = (1 - \eta^2)^{-1} (I_0 + |b_0^{(0)} m_2^{-1} R_1^{-3}|). \quad (4)
 \end{aligned}$$

При $|x| \ll n$ для сферических функций Ханкеля $h_n(x)$ и Бесселя $j_n(x)$ справедливы разложения [2, 3]

$$h_n(x) \sim i(2n-1)!! x^{-n-1}, \quad j_n(x) \sim [(2n+1)!!]^{-1} x^n. \quad (5)$$

* Нижний индекс «1» у номера соответствующей формулы указывает, что она взята из работы [1]. Обозначения, если это не оговорено, используются те же, что и в работе [1].

Определив из равенств (20)₁, (23)₁ постоянные $a_n^{(2)}$, $b_n^{(2)}$, $c_n^{(2)}$ и затем используя соотношения (4), (5), получим

$$|a_n^{(2)}| < R_1^2 I_0 [(2n-1)!!]^{-1} (m_1 R_1^2 d^{-1})^{n+1}, \quad |b_n^{(2)}| < R_1^2 I_1 n [(2n-1)!!]^{-1} \times \\ \times (m_2 R_1^2 d^{-1})^{n+1}, \quad |c_n^{(2)}| < R_1^3 I_1 [(2n-1)!!]^{-1} (m_3 R_1^2 d^{-1})^{n+1}. \quad (6)$$

Наконец, после аналогичных выкладок для любого $j \geq 1$ найдем

$$|a_n^{(2j+1)}| < R_1^2 I_0 (R_1 d^{-1})^{j+1} [d(2d-R_1)^{-1}]^{j+n} (2n+1)!! (m_1 d)^{-n}, \\ |b_n^{(2j+1)}| < R_1^2 I_1 n (R_1 d^{-1})^{4j} [d(2d-R_1)^{-1}]^{4j+n} (2n+1)!! (m_2 d)^{-n}, \quad (7)$$

$$|c_n^{(2j+1)}| < R_1^2 (2d-R_1) I_1 (R_1 d^{-1})^{4j} [d(2d-R_1)^{-1}]^{4j+n} (2n+1)!! (m_3 d)^{-n}; \\ |a_n^{(2j+2)}| < R_1^2 I_0 [R_1(2d-R_1)^{-1}]^{j+n} [(2n-1)!!]^{-1} (m_1 R_1)^{n+1}, \\ |b_n^{(2j+2)}| < R_1^2 I_1 n [R_1(2d-R_1)^{-1}]^{4j+n} [(2n-1)!!]^{-1} (m_2 R_1)^{n+1}, \quad (8) \\ |c_n^{(2j+2)}| < R_1^3 I_1 [R_1(2d-R_1)^{-1}]^{4j+n+1} [(2n-1)!!]^{-1} (m_3 R_1)^{n+1}.$$

Рассмотрим сходимость ряда $\sum_{j=2}^{\infty} F_{2j}$. С использованием соотношений (5), (8) и (15)₁ при $d > R_1$ и $\rho > R_1$ получим

$$\left| \sum_{j=2}^{\infty} F_{2j} \right| < \sum_{j=2}^{\infty} \left[\sum_{n=0}^{\infty} |a_n^{(2j)}| |h_n(m_1 \rho)| \right] < \\ < R_1^3 (2d-R_1)^{-1} I_0 f [1-R_1(2d-R_1)^{-1}]^{-1}, \quad (9) \\ f = R_1 \rho^{-1} [1-R_1^2 \rho^{-1} (2d-R_1)^{-1}]^{-1}.$$

Аналогично оцениваются ряды $\sum_{j=2}^{\infty} H_{2j}$ и $\sum_{j=2}^{\infty} \Psi_{2j}$:

$$\left| \sum_{j=2}^{\infty} H_{2j} \right| < R_1^8 \rho^{-1} (2d-R_1)^{-5} I_1 f [1-R_1^4 (2d-R_1)^{-4}]^{-2}, \\ \left| \sum_{j=2}^{\infty} \Psi_{2j} \right| < R_1^7 (2d-R_1)^{-5} I_1 f [1-R_1^4 (2d-R_1)^{-4}]^{-1}. \quad (10)$$

Далее рассмотрим сходимость рядов $\sum_{j=2}^{\infty} F(2j)$, $\sum_{j=2}^{\infty} H(2j)$ и $\sum_{j=2}^{\infty} \Psi(2j)$, которые также содержатся в формулах (2). С использованием соотношений (22)₁ и неравенств (8) при больших значениях ξ и n получим

$$\left| \sum_{j=2}^{\infty} F(2j) \right| < m_1^{-1} \sum_{j=2}^{\infty} \left[\sum_{n=0}^{\infty} |a_n^{(2j)}| (n!)^{-1} (2n-1)!! (\mu_1 m_1^{-1})^n \right] < \\ < R_1^4 (2d-R_1)^{-1} I_0 [1-R_1(2d-R_1)^{-1}]^{-1} e^{R_1 \mu_1}. \quad (11)$$

Для рядов $\sum_{j=2}^{\infty} H(2j)$ и $\sum_{j=2}^{\infty} \Psi(2j)$ имеем

$$\left| \sum_{j=2}^{\infty} H(2j) \right| < R_1^9 (2d-R_1)^{-5} I_1 [1-R_1^4 (2d-R_1)^{-4}]^{-1} \mu_2 e^{R_1 \mu_2}, \\ \left| \sum_{j=2}^{\infty} \Psi(2j) \right| < R_1^9 (2d-R_1)^{-5} I_1 [1-R_1^4 (2d-R_1)^{-4}]^{-1} e^{R_1 \mu_3}. \quad (12)$$

Из неравенств (11), (12) следует сходимость интегралов, содержащихся в формулах (2).

Таким образом, функции F , H и Ψ , записанные в виде (2), представляются сходящимися рядами и интегралами.

Результаты численных исследований. Соответственно решению (14)₁ температуру, напряжения в полупространстве, а также усилия и моменты

В оболочке запишем в виде ...

$$t = e^{i\omega\tau} \sum_{i=0}^{\infty} (t_{2i} + t_{2i+1}), \quad \sigma_{km} = e^{i\omega\tau} \sum_{i=0}^{\infty} (\sigma_{km}^{(2j)} + \sigma_{km}^{(2j+1)}),$$

$$N_l = e^{i\omega\tau} \sum_{i=0}^{\infty} (N_l^{(2j)} + N_l^{(2j+1)}), \quad M_l = e^{i\omega\tau} \sum_{i=0}^{\infty} (M_l^{(2j)} + M_l^{(2j+1)}), \quad (13)$$

где $k, l = \rho, \varphi, \theta; r, \varphi, z$, а величины $t_p, \sigma_{kl}^{(p)}, N_l^{(p)}, M_l^{(p)}$ ($p = 2j, 2j + 1$) определяются соотношениями (6)₁, (7)₁, (10)₁, (13)₁, (15)₁ — (23)₁.

Численно на ЭВМ «Минск-32» исследовалось влияние теплофизических и геометрических параметров заполнителя на амплитуду контактных напряжений, а также усилий в оболочке.

Изучали влияние безразмерного параметра частоты χ на амплитуду напряжений и усилий. При вычислениях использовались 4—5 членов разложения (13). Расчеты проводили для следующих значений параметров: $L = 1$, $\eta = \sqrt{3}$, $k_* = 2\delta_0 R_1^{-1} = 0,02$, $\lambda^{(0)} =$

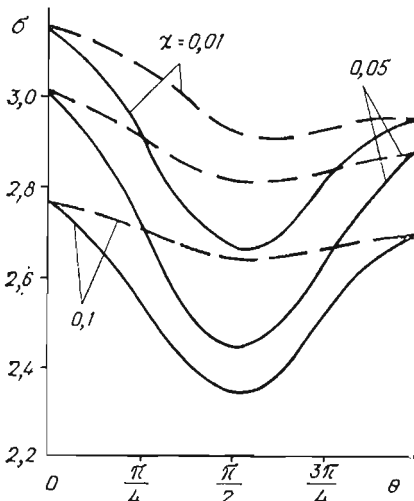


Рис. 2

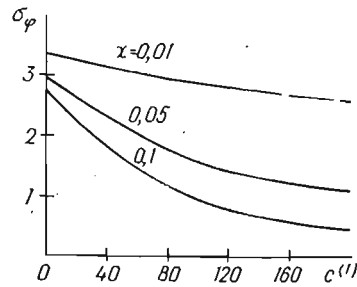


Рис. 3

$= \lambda_0 \lambda^{-1} = 0,3$, $c^{(0)} = c_0 c^{-1} = 1,4$, $g^{(0)} = g_0 g^{-1} = 2,8$, $\alpha^{(1)} = \alpha_0^{(1)} (\alpha^{(1)})^{-1} = 0,5$, $E^{(0)} = E_0 E^{-1} = 3$, $Bi = \epsilon_c R_1 \lambda^{-1} = 1$, $\nu_0 = \nu = 0,3$. Здесь c — теплоемкость; g — плотность; E — модуль Юнга; ν , $\alpha^{(1)}$ — коэффициент Пуассона и линейного температурного расширения соответственно; величины с нижними индексами «0», «1» относятся к оболочке и заполнителю соответственно, а без индекса — к полупространству. Некоторые из полученных результатов приведены на рис. 2—5.

На рис. 2 представлены зависимости от координаты θ амплитуды контактных напряжений σ_θ (сплошные линии) и σ_φ (штриховые); эти кривые получены при $c^{(1)} = c_1 c^{-1} = 0,5$, $d_* = d R_1^{-1} = 4$ для нескольких (указанных на графике) значений параметра χ . По оси ординат здесь откладывалось безразмерное напряжение $\sigma_i = 3\lambda (R_1^2 q_1 \alpha^{(1)} G)^{-1} \sigma_{ii}$, $i = \theta, \varphi$; G — модуль сдвига. Кривые, показанные на рис. 3, 4, иллюстрируют изменение амплитуды контактных напряжений σ_φ и усилий в оболочке N_φ^* в зависимости от отношения теплоемкостей материалов заполнителя и полупространства $c^{(1)}$ при $\chi = 0,01; 0,05; 0,1$ и $d_* = 4$, $\theta = 0$, $N_\varphi^* = 3\lambda (D_0 R_1^2 q_1 \alpha^{(1)})^{-1} N_\varphi$, $D_0 = 2E_0 \delta_0 (1 - \nu_0^2)^{-1}$. Исследовали также термоупругое состояние полупространства в окрестности включения в зависимости от расстояния его центра от плоской границы, характеризуемого параметром d_* . На рис. 5 показано изменение амплитуды контактных напряжений σ_θ с изменением координаты θ при различных значениях параметра d_* ($\chi = 0,05$, $c^{(1)} = 0,5$). Из приведенных на рис. 2, 3 графиков следует, что для рассмотренных значений параметров амплитуды контактных напряжений уменьшаются с ростом частоты χ . Аналогичная картина имеет место и для амплитуды усилий в оболочке N_φ^* (см. рис. 4). Полученные результаты (см. рис. 3, 4) показывают существенное влияние параметра $c^{(1)}$

на амплитуды контактных напряжений и усилий в оболочке. Амплитуды этих величин уменьшаются с ростом $c^{(1)}$, что соответствует случаям возрастания теплоемкости материала заполнителя или уменьшения теплоемкости основного материала. В предельном случае $c^{(1)} \rightarrow \infty$, как это видно из соотношений (17)₁ — (19)₁, напряжения и усилия исчезают.

Быстрога сходимости рядов (13) зависит от относительного расстояния центра включения от плоской границы d_* . Так, если при $d_* = 2$ ограничиться 4—5 членами рядов (13), то относительная погрешность составляет 0,5%.

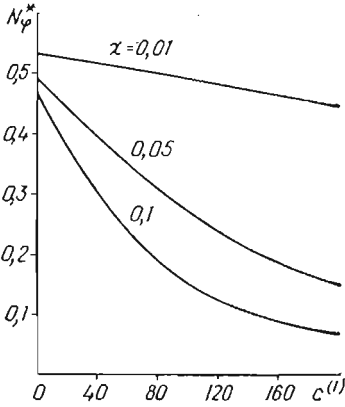


Рис. 4

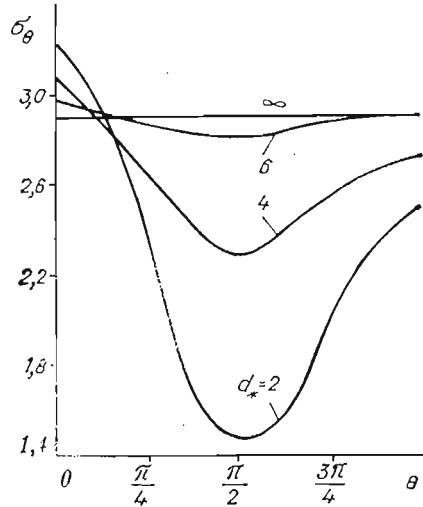


Рис. 5

Если $d_* = 4$, то необходимо взять 3 члена рядов (13) при указанной погрешности. При $d_* \geq 6$ достаточно ограничиться первыми членами рядов (13); это свидетельствует о том, что влияние плоской границы при $d_* \geq 6$ мало сказывается на распределении напряжений в окрестности включения, а также на величину усилий в оболочке.

1. Воробец Б. С. Динамические термонапряжения в полупространстве, вызываемые распределенными в сферическом включении периодическими источниками тепла. — Мат. методы и физ.-мех. поля, 1982, вып. 15, с. 52—57.
2. Морс Ф. М., Фешбах Г. Методы теоретической физики : В 2-х т. — М. : Изд-во иностр. лит., 1958—1960. — Т. 1. 930 с. Т. 2. 886 с.
3. Thiruvankatachar V. R., Viswanathan K. Dynamic response of an elastic half-space to time dependent surface tractions over an embedded spherical cavity. — Proc. Roy. Soc. A, 1965, 287, N 1411, p. 549—567.

Институт прикладных проблем
механики и математики АН УССР

Поступила в редколлегию
04.02.81

УДК 539.377

Н. Н. Тимошенко

К ОПТИМИЗАЦИИ НАПРЯЖЕННОГО СОСТОЯНИЯ СВАРНЫХ ПОЛОГИХ ОБОЛОЧЕК ВРАЩЕНИЯ

Рассмотрим тонкие пологие оболочки вращения постоянной толщины $2h$ с начальными остаточными напряжениями, вызванными начальными необратимыми остаточными деформациями $e_{ij}^{(n)}$ ($i, j = 1, 2$). С целью определения оптимального по напряжениям распределения необратимых остаточных деформаций в рассматриваемой оболочке наряду с заданным распределением начальных необратимых остаточных деформаций $e_{ij}^{(n)}$ рассмотрим распределение

$$e_{ij}^{(0)} = e_{ij}^{(n)} + e_{ij}^{(d)}. \quad (1)$$